

بررسی و مقایسه کاهش زیستی آهن فریک ساختمانی در کانی‌های نانترونیت، گتوتیت و هماتیت

نسرين قربان زاده^۱- امیر لکزان^{۲*}- غلامحسین حق نیا^۳- علیرضا کریمی^۴

تاریخ دریافت: ۱۳۹۱/۵/۲۳

تاریخ پذیرش: ۱۳۹۱/۱۲/۲۲

چکیده

کاهش زیستی یک فرایند مهم است که بر سیاری از ویژگی‌های کانی‌های آهن دار و چرخه بیوژئوشیمیابی آهن در اکوسیستم‌های طبیعی تأثیر دارد. اکسی‌هیدروکسیدها و فیلوسیلیکات‌های آهن دار دو منبع عمدۀ آهن در خاکها، سنتگها و تهنشسته‌ها بوده که توانایی کاهش زیستی را در طول زمان دارا می‌باشند. در این مطالعه به بررسی و مقایسه فرایند کاهش زیستی در دو منبع عمدۀ آهن (اکسیدها و فیلوسیلیکات‌ها) در حضور باکتری *Shewanella sp.* پرداخته شد. به این منظور آزمایش با شانزده تیمار شامل کاهش زیستی گتوتیت، هماتیت و دو نوع نانترونیت با و بدون ناقل الکترون (AQS) و تیمارهای شاهد (شامل تیمارهای فوق بدون باکتری) با سه نکار در قالب طرح کاملاً تصادفی انجام گرفت. نتایج آزمایش نشان داد که کاهش زیستی در حضور AQS در کانی‌های گتوتیت، هماتیت و دو نوع نانترونیت افزایش یافت. درصد کاهش زیستی در حضور AQS به ترتیب در (NAu-1)، (NAu-2)، (۳/۹، ۲/۷ و ۸/۷ درصد رسید. این نتایج حاکی از آن بود که زمانی که اکسیدهای آهن (گتوتیت و هماتیت) و سیلیکات‌های آهن دار شکل غالب آهن فریک قابل دسترس در خاکها و تهنشسته‌های زیرسطحی هستند، باکتری *Shewanella sp.* قادر به بقاء و تولید مقداری چشمگیری از آهن دو می‌باشد. نتایج همچنین نشان داد که در شرایط یکسان کاهش زیستی (غلظت گیرنده و دهنده الکترون و تعداد مساوی سلول باکتری) اندازه و سطح ویژه کانی نقش کلیدی در راندمان کاهش زیستی بازی می‌کنند.

واژه‌های کلیدی: کاهش زیستی، آهن دو، *Shewanella sp.*

باکتریهای غیرجزئی کاهنده آهن^۵ (DIRB) به تعداد بیشتر از ۱۰^۵ سلول در هر گرم وزن خشک خاکهای کشاورزی موجود هستند و نقش آنها در کنترل حالت‌های اکسایش و کاهش آهن کاملاً تشخیص داده شده است (۱). دو منبع عمدۀ آهن در خاکها و تهنشسته‌ها، آهن موجود در ساختارهای آمورف و کریستالین است. اکسی‌هیدروکسیدهای آهن آمورف (فری‌هیدرات‌ها) به عنوان شکل غالب آهن فریک قابل کاهش در خاکها و تهنشسته‌ها و مواد زیرسطحی اکسیدهای آهن کریستالی بسیار فراوان‌تر از اکسیدهای آهن آمورف بوده و دو کانی هماتیت^۶ و گتوتیت^۷ مهم‌ترین شکل از اکسیدهای آهن کریستالی موجود می‌باشند. تحقیقات در زمینه بیوژئوشیمی اهمیت بالقوه این دو کانی را به عنوان پذیرنده الکترون برای باکتریهای کاهنده آهن مشخص نموده و در فرایند

مقدمه

آهن عنصری فراوان در خاک‌ها و کانی‌های رسی است و از این رو چرخه آن در فرایندهای محیطی حائز اهمیت بسیار بوده و تحرک و پایداری این عنصر تا حدودی به وسیله حالت‌های اکسایش و کاهش آن کنترل می‌شود. لذا طیف وسیعی از تحقیقات در این زمینه صورت گرفته است. مطالعات انجام شده در رابطه با کاهش شیمیابی آهن فریک توسط دی‌تیونات سدیم و هیدرازین، اثرات این فرایند را بر روی انبساط پذیری، سطح ویژه، رنگ، و دیگر ویژگی‌های کانی‌های رسی مشخص نموده است (۳۳). ولی از آن جا که کاهنده‌های شیمیابی به مقدار بسیاراندکی در خاک‌ها حضور دارند، نقش چشمگیری را در حالت‌های اکسایش و کاهش آهن موجود در کانی‌ها در اکوسیستم‌های طبیعی دارا نمی‌باشند (۳۲). در حالی که نقش

5- Dissimilatory Iron Reduction Bacteria
6- $\alpha\text{-Fe}_2\text{O}_3$
7- $\alpha\text{-FeO(OH)}$

۱، ۲، ۳ و ۴- به ترتیب دانشجوی دکتری، استادان و استادیار گروه علوم خاک،
دانشکده کشاورزی، دانشگاه فردوسی مشهد
(Email: alakzian@yahoo.com) **** - نویسنده مسئول:**

کانی نانترونیت عمدتاً در لایه اکتاهدرال قرار دارد ولی می‌تواند مقداری از آن نیز در لایه تتراهدرال باشد. هدف دیگر این مطالعه بررسی تأثیر جایگاه آهن در ساختار نانترونیت بر فرایند کاهش زیستی می‌باشد.

مواد و روش‌ها

تهیه و آماده‌سازی هماتیت و گئوتیت

دو نمونه کانی هماتیتو گئوتیت از شرکت کانیان مشهد تهیه و سپس ترکیب عنصری این کانی‌ها با آنالیز^۱ XRF در آزمایشگاه شرکت کانساران بینالود تعیین شد. مقدار اکسید آهن در کانی‌های هماتیت و گئوتیت به ترتیب ۸۱/۵۶ و ۸۳/۲۲ درصد تعیین شد و ترکیبات سمعی نیز در این دو اکسید آهن گزارش نشد. سپس با انجام عملیات خردابش و نرمابیش ذرات این دو کانی به قطر کمتر از یک میکرومتر تهیه شدند. این دو کانی به مدت ۱۲ ساعت در دمای ۵۵°C در چه سانتیگراد قرار داده شدند تا کربن آلی آنها حذف شود^۲ و از این نمونه‌ها برای آزمایشات بعدی استفاده شد.

تهیه و آماده‌سازی کانی‌های رسی نانترونیت

کانی‌های رسی نانترونیت مورد نیاز برای انجام این آزمایش (NAu-1, NAu-2) از مرکز نگهداری کانی‌های رسی در کشور آمریکا^۳ تهیه شدند. مقدار کل آهن در کانی (NAu-1) ۱۶/۴ درصد است که تنها ۰/۴ درصد آن آهن دو می‌باشد و مقدار کل آهن در (NAu-2) ۲۳/۴ درصد است که ۰/۶ درصد آن آهن دو می‌باشد. (NAu-1) مقدار کمی ناخالصی گئوتیت، ابیلت، کوارتز و کلسیت را دارا می‌باشد، در حالی که (NAu-2) کاملاً خالص است. مقدار آهن فریک در (NAu-1) در حدود ۱۶ درصد (وزنی / وزنی) و در (NAu-2) در حدود ۳۳ درصد (وزنی / وزنی) می‌باشد^۴. مطالعات اسپکتروسکوپی موس با ترشان داده که دو نوع نانترونیت (1- NAu-2) دارای دو جایگاه متفاوت آهن نیز می‌باشند به این ترتیب که آهن فریک در NAu-1 در لایه اکتاهدرال این کانی قرار دارد و تنها بخش اندکی از آن (۲ درصد) در لایه تتراهدرال می‌باشد ولی در کانی-2 NAu-2، هم در لایه تتراهدرال (۸ درصد) و هم در لایه اکتاهدرال (۹۲ درصد) در دو جایگاه متفاوت سیس (M₂) و ترانس (M₁) trans قرار دارد^۵ و ^۶). به منظور آماده‌سازی این کانی‌ها، در ابتدا این دو کانی اندکی مرطوب و کاملاً آسیاب شدند و سپس با آب اشاع شده و سوسپانسیون‌های حاصله برای جداسازی ذرات با اندازه

کاهش زیستی مورد توجه بسیار قرار گرفته‌اند^۷ (۲۶ و ۲۴). باکتریهای کاهنده آهن، قادر به کاهش کانی‌های آهن کریستالین شامل کانی‌های مانند اکسیدهای آهن (۲۶) و فیلوسیلیکاتها (۱۸) و فیلوسیلیکاتها در خاکهای کشاورزی بسیار فراوان هستند^۸ (۵). در مطالعه‌ای که توسط ردن و همکاران (۲۶) انجام گرفت، مشخص شد که باکتری *Shewanella alga* بخش قابل توجهی (۸-۱۸ درصد) از آهن فریک موجود در اکسیدهای آهن کریستالین تهنشسته را کاهش می‌دهد. در میان فیلوسیلیکاتهای آهن دار، کانی اسماکتیت به عنوان بخش عمدتی از آهن کریستالین که در مدت زمان کوتاه دستخوش فرایندهای اکسایش و کاهش می‌شود بسیار مورد مطالعه قرار گرفته است^۹ (۱۷). در مطالعه‌ای که توسط لالوی و همکاران (۳۳) انجام گرفت، مشخص شد که برخی از باکتریهای خاک قادر به کاهش ۹۰ درصدی آهن فریک ساختمانی در کانی‌های رسی اسماکتیت می‌باشند که این فرایند بر طیف گسترده‌ای از ویژگی‌های فیزیکی و شیمیایی خاک تأثیر دارد. تغییر ویژگیهای از کانی رسی بر اثر فرایند کاهش زیستی مانند طوفیت تبادل کاتیونی و انبساط پذیری بر ویژگیهایی همچون ساختمان (۹ و ۳۲) نفوذپذیری (۱۲) و حاصلخیزی خاک (۲۰) اثرگذار است. فرایند کاهش زیستی منجر به کاهش انبساط پذیری رس و در نتیجه کاهش سطح ویژه آن و افزایش چگالی بار سطحی می‌شود که خود سبب افزایش ظرفیت تبادل کاتیونی در اسماکتیت‌ها شده و لذا در ویژگی‌های بیوژوئوژیمی خاکهای غنی از کانی‌ها نقش حیاتی دارد^{۱۰}. سازوکاری که به وسیله آن کانی‌ها به وسیله، باکتریها کاهش می‌باشند تنفس غیرهوایی آهن فریک ساختمانی همراه با اکسایش کربن است که در برخی گونه‌های باکتری مانند *Geobacter* به منظور انجام این فرایند، تماس مستقیم با منبع آهن فریک مورد نیاز است و اما در برخی دیگر مانند *Shewanella* نیاز به تماس مستقیم نبوده و این باکتری توان تولید کلات‌کننده‌های آهن فریک و محلول کردن آن را از فاز جامد دارا بوده و از طرفی ترکیبات ناقل الکترون را نیز تولید می‌کند^{۱۱} (۳۰) که باعث شده این باکتری در مطالعات کاهش زیستی بسیار مورد توجه محققین قرار گیرد. لذا با توجه به این که اکسی‌هیدروکسیدها و فیلوسیلیکاتهای آهن دار دو بخش عده و مهم آهن در خاکها و تهنشسته‌ها هستند که باکتریها قادر به رشد و فعالیت در حضور آنها بوده و همچنین کانی‌های کاهش یافته عوامل مهمی در اصلاح آلاینده‌های آلی و غیرآلی در خاک و سیستمهای آب زیرزمینی می‌باشند، بررسی و مطالعه فرایند کاهش آهن فریک ساختمانی در این دو منبع از اهمیت ویژه‌ای برخوردار بوده و به عنوان یک فرایند نوید بخش برای اصلاح زیستی فلزات سنگین و رادیونوکلئوتیدها در درون سفره‌های آب زیرزمینی تشخیص داده شده است^{۱۲} (۸ و ۱۵). در این مطالعه هدف بررسی و مقایسه کاهش زیستی در دو کانی اکسید آهن هماتیت و گئوتیت و دو نوع نانترونیت (1- NAu-2 و NAu-1) در حضور باکتری *Shewanella* sp. می‌باشد. از سوی دیگر، آهن در

1- X-Ray Fluorescence

2- Source Clays Repository of the Clay Minerals Society

^۵ انجام گرفت. در حدود ۱/۰ میلی لیتر از سوسپانسیون رس- باکتری از ظروف شیشه‌ای آزمایش با یک سرنگ سترون نمونه برداری و تا ۸ برابر رقیق شد. رقت‌های انتخابی بر روی محیط کشت (TSA) پخش و کشت انجام گرفت و تعداد واحدهای کلونی تشکیل شده که با چشم قابل شمارش بودند بعد از گذشت مدت ۲۴ ساعت انکوباسیون شمارش شدند (۲).

شرایط آزمایش‌های کاهش زیستی

به طور کلی در انجام آزمایش‌های کاهش زیستی، آهن فریک در کانی‌های رسی به عنوان پذیرنده الکترون، لاکتان به عنوان دهنده الکترون، سلولهای باکتری به عنوان واسطه^۶ AQS به عنوان ناقل الکترون مورد استفاده قرار گرفتند و همواره در فرایند کاهش زیستی حضور داشتند. تمامی محلولهای آزمایشی در کاهش زیستی دو نوع نانتروژنیت در بافر بی کربنات با اسیدیته ۷/۸-۶/۸ و در کاهش زیستی هماتیت و گتویت در بافر PIPES با پهاش ۸/۶ تهیه شدند. برای انجام این آزمایش‌ها از ظروف شیشه‌ای با حجم ۲۵ میلی لیتر استفاده شد. یک میلی لیتر از سوسپانسیون کانی‌های رسی (غلظت نهایی ۲۵ میلی مولار آهن فریک) و ۹ میلی لیتر بافر بی کربنات یا PIPES به ظروف شیشه‌ای اضافه و سپس این ظروف با گاز نیتروژن پر و درب پلاستیکی آنها کاملاً محکم و درزگیری شد. ۱۰ میلی لیتر لاکتانات با غلظت ۲۰ میلی مولار، یک میلی لیتر AQS با غلظت ۵۰ میکرومولار و یک میلی لیتر از سوسپانسیون سلولهای باکتری (2×10^8 سلول در میلی لیتر از طریق شمارش بر روی پلیت) با استفاده از سرنگ سترون به ظروف شیشه‌ای اضافه شدند که در تیمارهای شاهد از بافر به جای باکتری استفاده شد. سپس ظروف بر روی شیکر (۶۰ دور در دقیقه) و در دمای ۳۰ درجه سانتیگراد برای مدت ۳۰ روز نگهداری شدند (۱۵). آزمایش با شانزده تیمار شامل کاهش زیستی برای چهار کانی هماتیت، گتویت و دو نوع نانتروژنیت (با و بدون ناقل الکترون AQS) و تیمارهای شاهد (بدون باکتری و همراه با باکتری غیر زنده) و سه تکرار در قالب طرح کاملاً تصادفی انجام گرفت (جدول ۱).

تامی مراحل انجام آزمایش و نمونه برداری‌های بعدی در شرایط کاملاً استریل و اتمسفر بی‌هوایی در اتاقک حاوی گاز نیتروژن انجام گرفت. لازم به ذکر است که در این مطالعه به منظور بررسی قابلیت کاهش زیستی AQS در عدم حضور رس تیماری با شرایط مشابه سایر تیمارها بدون حضور رس اعمال شد که در این تیمار راندمان کاهش زیستی صفر بود و لذا در مقایسه با سایر تیمارها لحاظ نشد.

کوچکتر از ۵/۰ میکرومتر سانتریفیوژ و پس از آن ذرات حاصل از سانتریفیوژ در دمای ۸۰°C- خشک^۱ شدن (۸ و ۱۵)، به منظور از بین بردن هرگونه آلودگی میکروبی، ذرات رس با اندازه کوچکتر از ۵/۰ میکرومتر در دمای ۸۰ درجه سانتیگراد به مدت ۳ ساعت (سه بار) با فاصله زمانی یک ساعت پاستوریزه شدند. لازم به ذکر است که پاستوریزه کردن هیچ تغییر را در ساختمن این کانی‌ها ایجاد نمی‌کند. سپس ذرات رس با اندازه کوچکتر از ۵/۰ میکرومتر در بافر بی کربنات استریل با اسیدیته ۷/۰ گرم بر لیتر کلرید پتاسیم و ۲ گرم بر لیتر بی کربنات سدیم) در شرایط بی‌هوایی و زیر فشار گاز نیتروژن آماده و برای مراحل بعدی انجام آزمایش مورد استفاده قرار گرفتند (۲). تعیین سطح ویژه کانی‌های هماتیت، گتویت و دو نوع نانتروژنیت نیز با روش^۲ (BET) که جذب سطحی مولکولهای گاز لحظه می‌کند (۱۳) در آزمایشگاه تحقیقاتی مهندسی شیمی دانشکده مهندسی دانشگاه فردوسی انجام گرفت.

تھیه و بازکشت باکتری Shewanella sp.

باکتری Shewanella sp. از بانک میکروبی ایران (مرکز کلکسیون قارچ‌ها و باکتری‌های صنعتی ایران- کرج) تھیه و پس از بازکشت در محیط کشت مایع^۳ (TSB) بدون دکستروز با غلظت ۳۰ گرم بر لیتر در گلیسروول ۴۰٪ در دمای ۸۰- درجه سانتیگراد نگهداری و برای انجام مراحل بعدی استفاده شد (۱۵). به منظور استفاده از باکتری در آزمایش‌های کاهش زیستی ابتدا باکتری به طور هوازی در محیط کشت مایع (TSB) بدون دکستروز کشت داده شد و به منظور رسیدن به مرحله رشدی متوسط تا نهایی فاز لگاریتمی، به مدت ۱۶ ساعت بر روی شیکر (۱۰ دور در دقیقه) قرار گرفت. سپس سلولهای باکتری برای کاهش زیستی نانتروژنیت، هماتیت و گتویت به ترتیب با محلول بافر بی کربنات (۱/۰ گرم بر لیتر کلرید پتاسیم و ۲ گرم بر لیتر بی کربنات سدیم) و بافر PIPES^۴ ۱۰ میلی مولار با اسیدیته ۶/۸ سه بار سانتریفیوژ (۷۰۰۰ دور در دقیقه به مدت ۴ دقیقه) و شستشو داده شدند و نهایتاً سلولهای باکتری برای آزمایش‌های کاهش زیستی مورد استفاده قرار گرفتند. به منظور تھیه باکتری غیر زنده قبل از تلقیح باکتری به مدت یک ساعت در دمای ۸۰ درجه سانتیگراد قرار گرفت (۱۵). اندازه گیری قابلیت زنده ماندن سلولهای باکتری در محیط کشت نیز به روش شمارش سلول زنده

1- Freeze Drying

2- Stephen Brunauer, Paul Hugh Emmett, and Edward Teller

3- Tryptic Soy Broth

4- 1,4-piperazinediethanesulfonic acid

جدول ۱- تیمارهای آزمایشی اعمال شده در دو نوع نانترونیت، گوئیت و هماتیت

کانی\تیمار	بدون باکتری	همراه باکتری غیر زنده	همراه باکتری در حضور AQS	همراه باکتری بدون AQS
NAu-1	NAu-1	NAu-1+PSh	NAu-1+Sh+AQS	NAu-1+Sh-AQS
NAu-2	NAu-2	NAu-2+PSh	NAu-2+Sh+AQS	NAu-2+Sh-AQS
Goethite	G	G+PSh	G+Sh+AQS	G+Sh-AQS
Hematite	H	H+PSh	H+Sh+AQS	H+Sh-AQS

نتایج و بحث

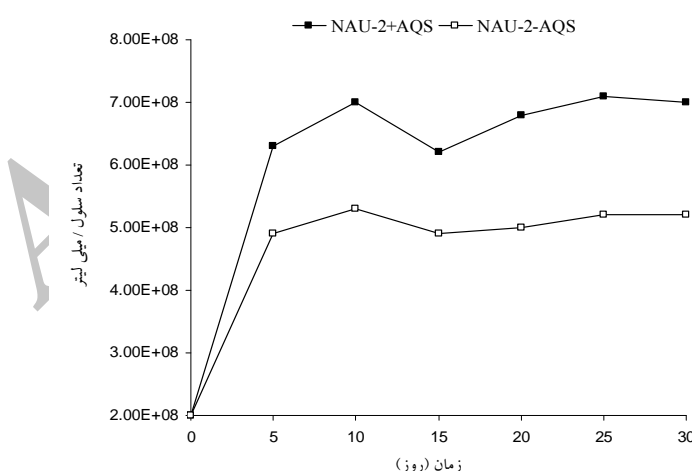
کاهش زیستی آهن در نانترونیت

نتایج حاصل از بررسی زنده ماندن باکتری‌ها در کانی-2 NAu-2 در طول فرایند کاهش زیستی نشان داد که حضور AQS در تیمارها منجر به تداوم رشد سلول باکتری بیشتری نسبت به تیمارهای بدون AQS شد (شکل ۱). در آزمایشاتی که AQS به عنوان سل پذیرنده کترون (در عدم حضور رس) انتخاب شد، تعداد سلولهای پس از گذشت ۵ روز به حدود 1×10^{10} رسید که پس از آن با گذشت زمان در پایان ۳۰ روز از انجام آزمایش به حدود 1×10^{10} سلول زنده رسید. این زمان ۳۰ روز از انجام آزمایش به حدود ۱۵ روز افزوده رسید. این نتایج با گزارش‌های ارائه شده توسط جی‌سی و همکاران (۱۵) مطابقت دارد. آنها بیان نمودند که حضور کربن، نیتروژن، فسفر و همچنین فلزات کم مصرف در رسهای نانترونیتی رشد سلولهای باکتری را حمایت می‌کند که در عدم حضور رسها این امر میسر نمی‌شود.

نتایج حاصل از کاهش زیستی در دو نمونه نانترونیت آزمایش نشان داد که گستره و مقدار کاهش زیستی بین دو نانترونیت متفاوت بود (شکل ۲).

اندازه‌گیری آهن دو محلول و قابل استخراج با اسید

مقدار کاهش آهن فریک ساختمانی در کانی‌های رسی با اندازه‌گیری آهن دو در زمانهای تعیین شده و پایش آن مشخص شد. لذا نمونه‌برداری در زمانهای مشخص (۰، ۱۰، ۱۵، ۲۰، ۲۵ و ۳۰ روز) از تیمارهای آزمایشی به منظور اندازه‌گیری آهن دو محلول و قابل استخراج با اسید صورت گرفت. ۰/۵ میلی‌لیتر از سوسپانسیون کانی رسی-باکتری با یک سرنگ ستون از درون ظروف شیشه‌ای برداشته و به میکروتیوب ۱/۵ میلی‌لیتری دارای ۰/۵ میلی‌لیتر اسید کلریدریک ۰/۵ نرمال (نسبت ۱:۱) افزوده شد. پس از گذشت ۲۴ ساعت و باقی ماندن نمونه‌ها در این حالت، آهن دو قابل استخراج با اسید به روش فروزین اندازه‌گیری شد (۳۱). به منظور اندازه‌گیری آهن دو محلول سوسپانسیون کانی رسی-باکتری سانتریفیوژ شد تا تمام رس کاملاً تنهشین شود و سپس غلظت آهن دو محلول رویی نیز به روش فروزین اندازه‌گیری شد (۳۱).



شکل ۱- رشد سلول باکتری در آزمایش‌های کاهش زیستی در کانی-2 NAu-2 در طول ۳۰ روز انجام آزمایش

کاهش زیستی در آزمایش‌های انجام شده با غلظت ثابت رس ۲۵ میلی‌مولار آهن فریک) برای NAu-1 در پایان ۱۵ روز در حضور

کاهش زیستی در آزمایش‌های انجام شده با غلظت ثابت رس ۲۵

تکنیک‌های پراش اشعه ایکس^۱ تعیین شده بود. این نتایج دلالت می‌کنند که آهن فریک در مکان تتراهرال تها آهنی است که در فقدان تسهیل کننده ناقل الکترون کاهش می‌یابد و زمانی که ناقل الکترون برای تسهیل انتقال الکترون حضور دارد و فعالیت متابولیک باکتریها را ارتقاء می‌دهد، آهن فریک در مکان اکتاهرال نیز قابلیت کاهش زیستی پیدا می‌کند. این نتایج با مطالعات اولیه بر روی کاهش ناترونیت به وسیله کاهنده‌های شیمیایی مانند دی‌تیونات و هیدرازین نیز مشابه بودند.

راسل و همکاران (۲۸) گزارش نمودند که ناترونیت‌هایی که دارای آهن در لایه تتراهرال بودند نسبت به آنهایی که در ساختار خود فاقد آهن در این لایه بودند به مقدار بیشتری به وسیله دی‌تیونات کاهش یافتدند. آنها همچنین بیان نمودند که این آهن ترجیحاً بعد از کاهش حل می‌شود. لذا تفاوت در این دو کانی در فرایند کاهش زیستی در درجه اول به ساختار کریستالی و جایگاه آهن موجود در ساختمان آنها (توزیع آهن فریک در مکانهای ساختمانی متفاوت) و در درجه دوم به بار لایه‌ای آنها مربوط می‌باشد. بار لایه‌ای در کانی NAu-1 و NAu-2 به ترتیب (۰/۰۵) و (۰/۷۲) توسط گیتس و همکاران (۱۱) گزارش شده است. مطالعات توسط دانگ و همکاران (۸) نشان داد که بار لایه‌ای بیشتر، منجر به کاهش زیستی کمتر می‌شود. در مواردی مانند کانی ایلیت که بار لایه‌ای نزدیک به ۲ دارند، گستره کاهش زیستی بسیار انداز و با سرعت پایین گزارش شده است. از طرفی، در این مطالعه سطح ویژه در ناترونیت NAu-2 بسیار بیشتر از NAu-1 گزارش شد (جدول ۲) که خود دلیلی مبنی بر افزایش گستره و راندمان کاهش زیستی در کانی NAu-2 می‌باشد.

جدول ۲- نتایج آنالیز سطح ویژه نمونه‌های هماتیت، گتویت و دو نوع ناترونیت

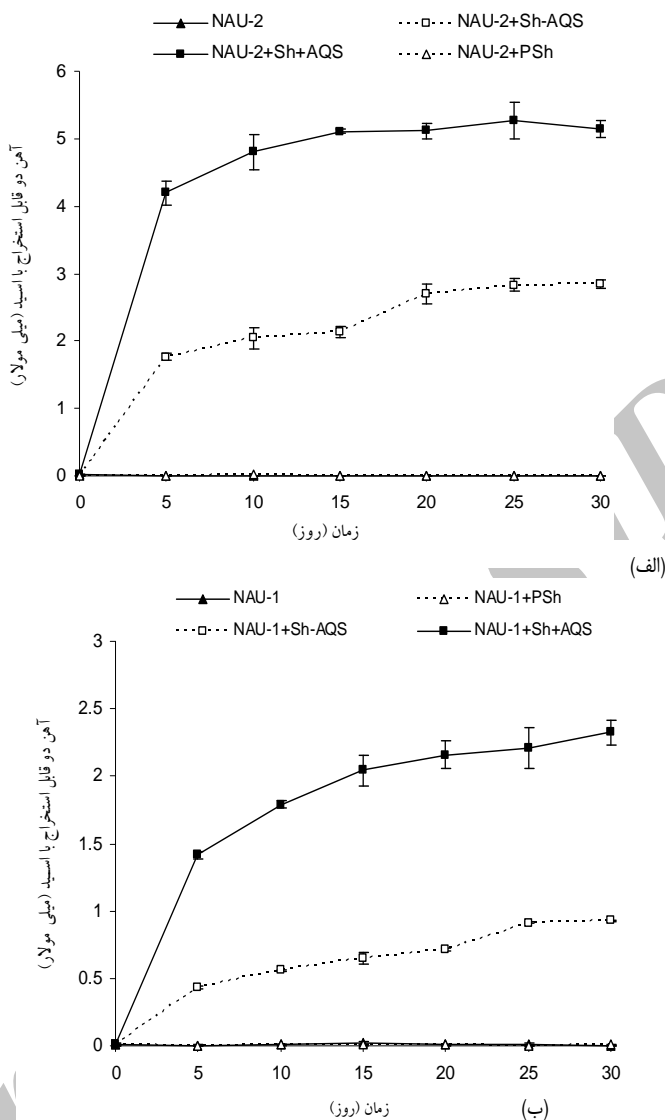
	سطح ویژه (m ² /g)		
	NAu-1	NAu-2	هماتیت
	۱۰/۴۰۵	۵۰/۰۹۳	۱/۳۱۸

کاهش زیستی آهن در هماتیت و گتویت

آزمایش‌های انجام شده با غلظت ثابت رس (۲۵ میلی‌مولار) نشان داد که گستره کاهش زیستی در پایان ۱۵ روز انجام آزمایش در حضور AQS در هماتیت و گتویت به ترتیب به ۰/۶۹ و ۰/۷۲ میلی‌مولار معادل با ۲/۷ و ۶/۸ درصد از مقدار اولیه آهن فریک رسید و در همین شرایط گستره کاهش در حضور AQS در ۳۰ روز انجام آزمایش برای هماتیت و گتویت به ترتیب به ۳ و ۸/۷ درصد از مقدار اولیه آهن فریک رسید (شکل ۳).

AQS به ۲ میلی‌مولار معادل با ۰/۸٪ از مقدار اولیه آهن فریک در حالی که برای NAu-2 به ۵ میلی‌مولار معادل ۲۰ درصد از مقدار آهن فریک اولیه رسید. در همین شرایط کاهش زیستی در حضور AQS در ۳۰ روز انجام آزمایش به ترتیب در ۱ و NAu-2 حدود ۹ و NAu-1 حدود ۱۵ روز انجام داشت که نشان دهنده این است که فرایند کاهش در راندمان بیشتری انجام شده است. در فقدان AQS کاهش در NAu-1 و NAu-2 به ترتیب به ۳/۵ و ۱۱ درصد از مقدار اولیه آهن فریک محدود شد (شکل ۲). لذا این نتایج نشان می‌دهد که باکتری Shewanella sp بدون ناقل الکترون نیز به دلیل عدم نیاز به تماس مستقیم با منبع آهن فریک به منظور کاهش زیستی توانایی انجام این فرایند را دارد و اما حضور AQS (که مواد آلی موجود در اکوسیستم‌های طبیعی مانند اسید هومیک نیز دارای بخش‌های حاوی ترکیبات کوینون می‌باشد) منجر به افزایش راندمان کاهش زیستی شد که با نتایج شی و همکاران (۳۰) مطابقت دارد. نتایج همچنین نشان داد که سرعت اولیه کاهش زیستی آهن به طور معنی‌داری در NAu-2 بالاتر از NAu-1 بود. به عنوان مثال، در رس (۳۰ روز اتفاق حضور AQS تقریباً ۶۴ درصد از کل کاهش (که در مدت AQS در مدت ۵ روز مشاهده شد. اما برای NAu-2 زمان مشابه مقدار کاهش به ۷۸ درصد از کل کاهش رسید (شکل ۲). اما در طول مدت زمان یکسان در این دو رس، کاهش در عدم حضور AQS تنها به ۴۷ و NAu-2 در NAu-1 رسید. گستره کاهش از مقدار اولیه آهن فریک به ترتیب در NAu-1 و NAu-2 رسید. گستره کاهش در تیمارهای شاهد با سلولهای باکتری غیر زنده و بدون سلول باکتری همیشه کمتر از ۱ درصد بود. روند آهن دو قابل استخراج با اسید در تیمارهای رس (NAu-1) و NAu-2 (NAu-2) بدون باکتری و همراه با باکتری غیرزنده بر محور زمان منطبق شده است (شکل ۲).

جی‌سی و همکاران (۱۵) که به بررسی تأثیر جایگاه‌های آهن در کاهش زیستی دو ناترونیت (NAu-1 و NAu-2) توسط آنالیزهای موس با اسپکتروسکوپی پرداختند، به این نتیجه رسیدند که کاهش زیستی در NAu-1 در ابتدا در ناخالصی گتویت آن اتفاق می‌افتد و آهن فریک سیس (Cis) در مکان اکتاهرال تنها به مقدار اندازی کاهش می‌یابد ولی در کانی NAu-2 کاهش زیستی از ترکیبی از آهن فریک در جایگاه تتراهرال و آهن فریک ترنس (trans) در لایه اکتاهرال حاصل می‌شود و آهن فریک در جایگاه سیس (Cis) به مقدار اندازی کاهش می‌یابد. لی و همکاران (۲۱) گزارش نمودند، هنگامی که آهن فریک در NAu-2 به عنوان سل پذیرنده الکترون استفاده شد، گستره کاهش زیستی در این کانی ۱۰ درصد بود که این گستره کاهش با بخشی از آهن فریک کل در مکان تتراهرال (۹ درصد) مشابه بود که به وسیله گیتس و همکاران (۱۱) با استفاده از



شکل ۲- مقایسه میانگین‌های آهن دو قابل استخراج با اسید در تیمارهای (الف) NAU-2 و (ب) NAU-1 در مدت زمان ۳۰ روز

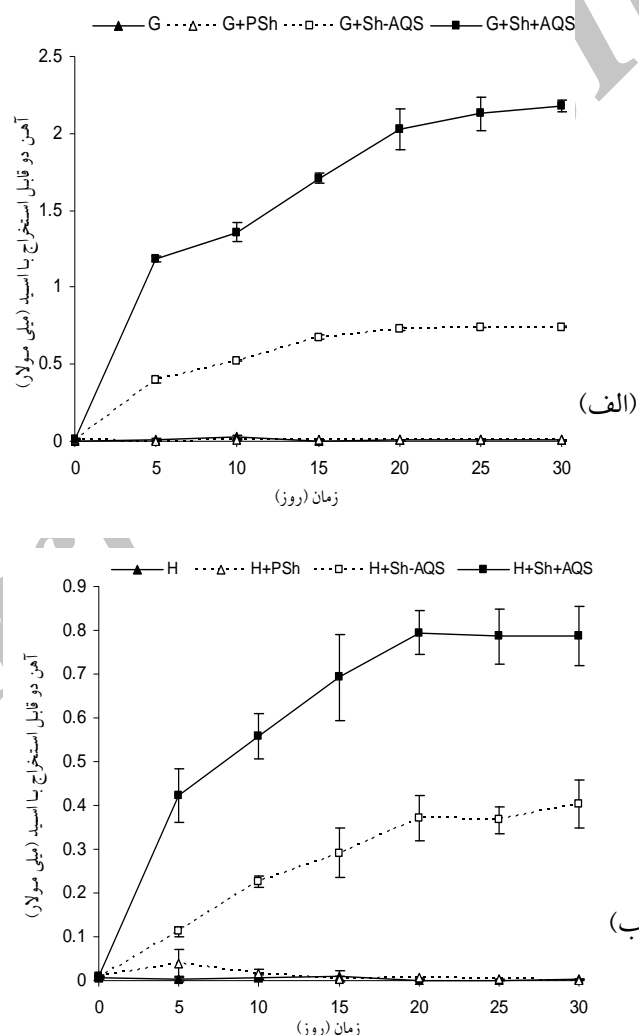
باکتری غیر زنده و بدون سلول باکتری همیشه کمتر از ۱ درصد بود. مقدار آهن دو محلول اندازه‌گیری شده در کاهش زیستی دو نوع کانی نانترونیت (NAU-1) و (NAU-2)، هماتیت و گتویت اندک بود که به همین دلیل روند آزادسازی آهن دو در محلول در این فرایند تنها در تیمارهایی که AQS را دریافت کرده بودند در شکل ۴ نشان داده شده است.

به طور کلی تفاوت در حلالیت اکسی‌هیدروکسیدها منجر به اختلاف در کاهش زیستی آنها می‌شود که این تفاوت در حلالیت‌ها نیز در صورت یکسان بودن اندازه ذرات ناشی از اختلافات در سطح

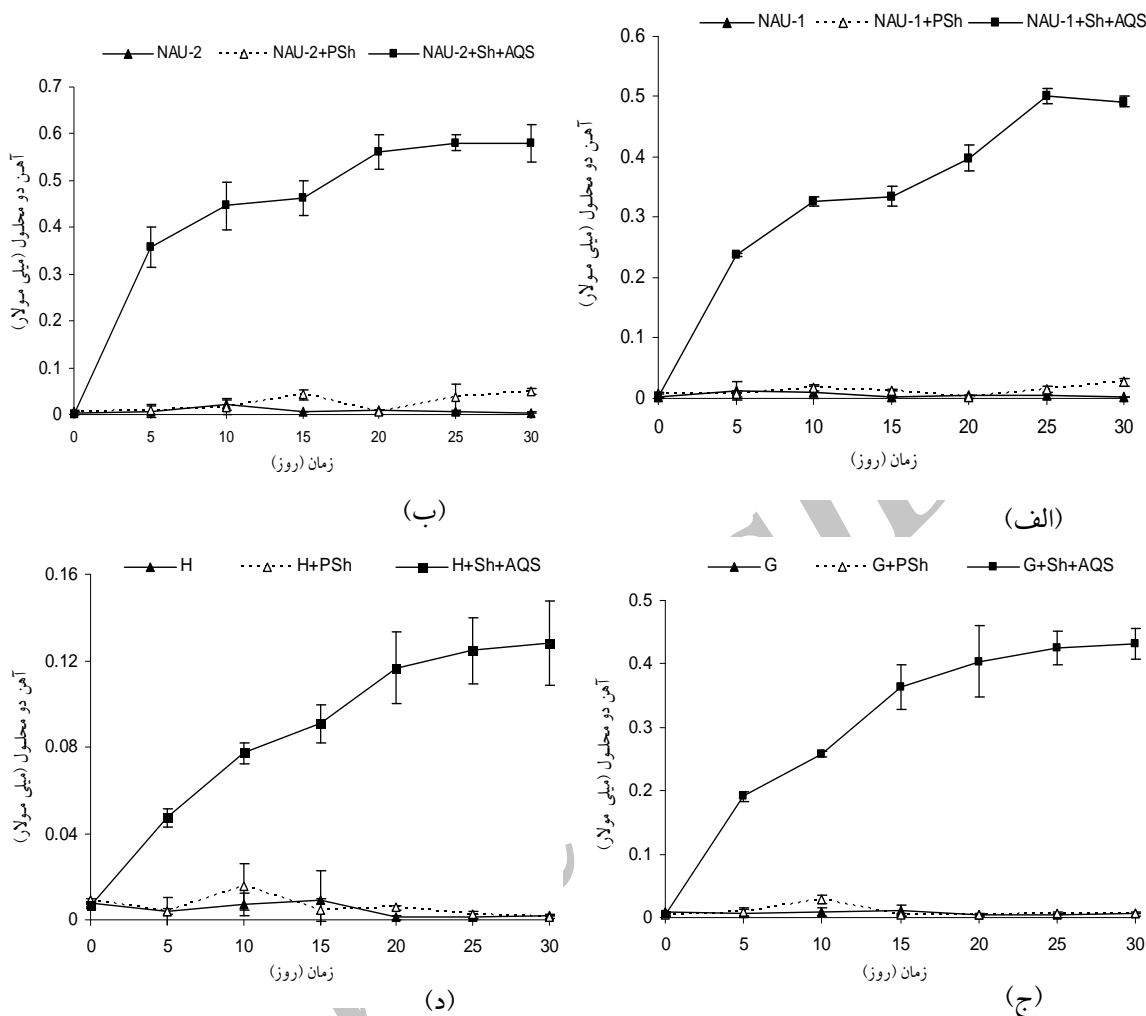
این مقادیر در فقدان AQS به ترتیب به $1/6$ و 3 درصد برای هماتیت و گتویت محدود شد. سرعت اولیه کاهش در هماتیت بالاتر از گتویت بود. به عنوان مثال، در اسید آهن هماتیت در حضور AQS تقریباً ۸۵ درصد از کل کاهش (که در ۳۰ روز اتفاق افتاد) پس از گذشت حدود ۵ روز بود اما برای گتویت در مدت زمان مشابه مقدار کاهش به 53% از کل کاهش از مقدار اولیه آهن فریک رسید با این تفاوت که راندمان کاهش زیستی در گتویت بیشتر از هماتیت و با سرعت کمتر ولی تداوم بیشتری در طول زمان ادامه یافت (شکل ۳). در این دو کانی نیز گستره کاهش در تیمارهای شاهد با سلولهای

سرعت و گستره کاهش زیستی اکسیهیدروکسیدهای آهن فریک تحت تأثیر عوامل زیادی شامل زیست توده و ساختمان جامعه میکروبی، نوع و فراوانی آنها و تمایل جذب بین فازهای اکسید و باکتریها نیز می‌باشد (۳ و ۴). نسبت‌های اولیه کاهش اکسیدهای آهن فریک توسط باکتریها در ابتدای فاز کاهش به وسیله ویژگیهای ترمودینامیکی کریستال اکسید کنترل نمی‌شوند (۱۰). فیچر و همکاران (۱۰) بیان کردند که اگر پتانسیل اکسایش-کاهش سلولهای باکتری (یعنی سیتوکروم‌های نوع C غشاء خارجی) به مقدار زیادی منفی باشد در کاهش فازهای اکسید کریستالی (مانند هماتیت یا گئوتیت) هر برخوردي که یک سلول باکتری کاهنده با یک ذره اکسید انجام دهد منجر به کاهش آهن فریک در سطح اکسید می‌شود.

ویژه، تبلور و مقدار ناخالصی آنهاست (۳). در مطالعه‌ای که توسط بنویل و همکاران (۳) در رابطه با کاهش زیستی اکسیهیدروکسیدهای آهن فریک در حضور باکتری *Shewanella putrefaciens* انجام گرفت مقدار کاهش زیستی را به شکل فریهیدرات > لپیدوکروسایت > گئوتیت > هماتیت گزارش کردند که این نتایج در رابطه با هماتیت و گئوتیت با نتایج حاصله در این مطالعه مشابه است. آنها همچنین اختلاف در کاهش زیستی را به تفاوت در حالیت اولیه اکسیهیدروکسیدهای آهن نسبت دادند که برای اکسیهیدروکسیدهای آهن آمورف بیشترین و برای هماتیت کمترین گزارش شده است. حالیت اکسیهیدروکسیدهای آهن معمولاً از فریهیدرات به مقدار ($K_{SO} = 10^{-41}$) به گئوتیت ($K_{SO} = 10^{-33}$) و هماتیت ($K_{SO} = 10^{-33}$) در اسیدیته محیط کاهش می‌یابد (۶ و ۱۴).



شکل ۳- مقایسه میانگین‌های آهن دو قابل استخراج با اسید در تیمارهای (الف) گئوتیت و (ب) هماتیت در مدت زمان ۳۰ روز



شکل ۴- مقایسه میانگین‌های آهن دو محلول در کانی‌های (الف) NAU-1، (ب) NAU-2، (ج) گتوپیت و (د) هماتیت در تیمارهای مختلف در مدت زمان ۳۰ روز

و همکاران (۲۶) بر روی مقایسه کاهش زیستی اکسید آهن آمورف، گتوپیت و هماتیت به وسیله باکتری *Shewanella alga* انجام گرفت، مشخص شد که آهن فریک در اکسید آمورف ۲۰ برابر گتوپیت و در گتوپیت ۵۰ برابر بیشتر از هماتیت در طول یک دوره ۵ روزه از انکوباسیون کاهش یافت که دلیل این نتایج را کاهش اندازه ذره و افزایش یافتن سطح ویژه این اکسیدها بیان نمودند. لذا فاکتورهای مانند ساختمان بلور، مورفولوژی، انرژی ازاد و تراکم ذرات اثری مهم می‌باشد (۲۶). این نتایج به روشنی ثابت کردند که نسبت گستره کاهش زیستی اکسیدهای آهن فریک به وسیله سطح ویژه آنها کنترل می‌شود. در این مطالعه سطح ویژه گتوپیت نسبت به هماتیت بسیار بیشتر بود (جدول ۲) که منجر به افزایش راندمان و گستره کاهش زیستی در گتوپیت نسبت به هماتیت شد. در مطالعه‌ای که توسط ردن

نتایج حاصل از آزمایش همچنین حاکی از آن بود که بیشترین مقدار کاهش در ۵ روز اول دوره کاهش زیستی صورت گرفت زیرا نسبت‌های اولیه کاهش تحت کنترل عوامل سینتیکی بوده و احتمالاً به وسیله نسبت انتقال الکترون از سلولهای باکتری به اکسید کنترل می‌شود، در حالی که گستره طولانی مدت کاهش به وسیله آهن دو جذب سطحی شده بر روی سطوح اکسید و سلولهای باکتری محدود می‌شود (۲۶). این نتایج به روشنی ثابت کردند که نسبت گستره کاهش زیستی اکسیدهای آهن فریک به وسیله سطح ویژه آنها کنترل می‌شود. در این مطالعه سطح ویژه گتوپیت نسبت به هماتیت بسیار بیشتر بود (جدول ۲) که منجر به افزایش راندمان و گستره کاهش زیستی در گتوپیت نسبت به هماتیت شد. در مطالعه‌ای که توسط ردن

انتقال دهنده الکترون بر روی کاهش زیستی آهن فریک در گئوتیت و ایلیت به طور هم‌زمان به وسیله باکتری *Shewanella putrefaciens* انجام گرفت، ایلیت کاهش بیشتری را نسبت به گئوتیت به دلیل سطح تماس بیشتر ایلیت با باکتری نشان داد. در مطالعه‌ای دیگر نیز ایلیت در فقدان ناقل الکترون به دلیل تماس سطحی بیشتر بین ایلیت و سولولهای باکتری کاهش بیشتری را نسبت به گئوتیت نشان داد (۲۹). اگرچه در این مطالعات در حضور یک ناقل انتقال دهنده الکترون (AQDS)، گئوتیت مقدار کاهش بیشتری را به دلیل دسترسی بیشتر سولولهای باکتریایی به آن نشان داد (۸ و ۲۹).

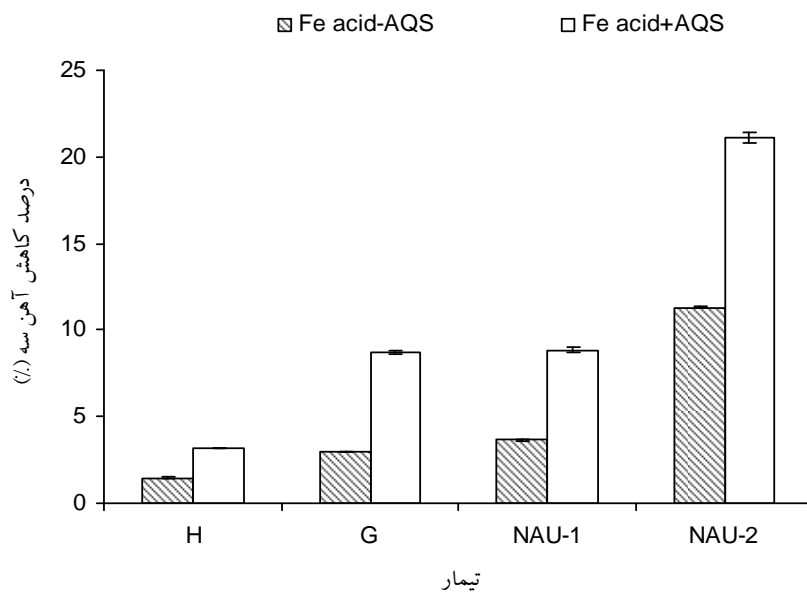
کاهش پذیری بیشتر ایلیت نسبت به گئوتیت در مطالعات دیگر نیز ثابت شده است (۱۶).

پژوهشگرانی که در تهشیشهای شامل اکسیدها و فیلوسیلیکاتهای آهن فریک ساختمانی فرایند کاهش زیستی را مورد بررسی قرار دادند، گزارش نمودند که غالباً فرایند کاهش زیستی در آهن فریک موجود در سیلیکاتها رخ می‌دهد. آنها گزارش نمودند که احتمالاً تماس سطحی بین سولولهای باکتری و کانی‌ها نقش مهمی را در این مورد ایفاء می‌کند (۷). مطالعات همچنین نشان داده که در تهشیشهای طبیعی و خاکها، آهن فریک ساختمانی اکسیدهای آهن (مانند گئوتیت) و فیلوسیلیکاتها (مانند اسمنکتیت، ایلیت و ...) پذیرنده‌های الکترون مهمی برای کاهش زیستی می‌باشند (۷ و ۳۴) که با توجه به اهمیت چشمگیر این فرایند در خاکها و تهشیشهای نیاز به مطالعه بیشتر در این زمینه امری ضروری می‌باشد.

ارتباط مستقیم با سطح ویژه آنهاست مهمترین فاکتور در کاهش زیستی آنها محسوب می‌شود. انرژی آزاد تشکیل یک اکسید آهن (ΔG) نیز بر روی قابلیت کاهش‌پذیری زیستی آن به وسیله کنترل کردن حلالیت اکسید و دیگر ویژگی‌های سطحی آن دو جداسازی آهن دو اثر می‌گذارد و بنابراین (ΔG) اکسیدها نیز دارای اهمیت ثانویه در کنترل کاهش زیستی می‌باشد (۲۶). لذا سطح ویژه و ویژگی‌های ترمودینامیکی اکسید (پتانسیل اکسایش-کاهش) بر روی گستره کاهش کانی‌های دارای آهن فریک توسط باکتریها اثر می‌گذارد (۲۵).

مقایسه درصد کاهش زیستی در اکسیدهای آهن و نانترونیت

نتایج حاصل از انجام آزمایش نشان می‌دهد که درصد کاهش زیستی در این کانی‌ها به ترتیب $\text{NAU-1} < \text{NAU-2} < \text{گئوتیت}$ همایت می‌باشد (شکل ۵) که این نتایج با نتایج حاصل از مطالعه‌ای توسط بنویل و همکاران (۳) مطابقت دارد. آنها قابلیت کاهش زیستی را در فیلوسیلیکاتهای دارای آهن فریک (اسمنکتیت، نانترونیت و ایلیت) بیشتر از اکسیدهای آهن فریک کریستالین گزارش نمودند و اندازه ذرات، سطح ویژه و ساختار تبلور کانی را در این نتایج تأثیرگذار دانستند. از آن جا که در اکوسیستم‌های طبیعی اغلب کانی‌های رسی و اکسیدهای آهن همراه با هم حضور دارند، سطح تماس بین سولولهای باکتری و کانی نقش کلیدی در اولویت آنها برای کاهش زیستی دارد. در مطالعه‌ای که توسط دانگ و همکاران (۸) در فقدان یک ناقل



شکل ۵- گستره کاهش زیستی آهن سه در ۴ کانی آزمایشی در مدت زمان ۳۰ روز

سپاسگزاری

که امکان این تحقیق را فراهم کردند تشکر می کنیم.

بدین وسیله از معاونت محترم پژوهشی دانشگاه فردوسی مشهد

منابع

- 1- Achtnich C., Schuhmann A., Wind T., and Conrad R. 1995. Role of interspecies H₂ transfer to sulfate and ferric iron-reducing bacteria in acetate consumption in anoxic paddy soil. *FEMS Microbiol. Ecol.* 16: 61–70.
- 2- Bishop M.E., Dong H., Kukkadapu R.K., Liu C., Edelmann R.E. 2011. Bioreduction of Fe-bearing clay minerals and their reactivity toward pertechnetate (Tc-99). *Geochimica et Cosmochimica Acta* 75: 5229–5246.
- 3- Bonneville S., Cappellen P.V., Behrends T. 2004. Microbial reduction of iron(III) oxyhydroxides—effects of mineral solubility and availability, *Chem. Geol.* 212: 255–268.
- 4- Caccavo Jr.F., Blakemore R.P., and Lovley D.R. 1992. A hydrogenoxidizing, iron(III)-reducing microorganism from the Great Bay estuary, New Hampshire. *Appl. Environ. Microbiol.* 58: 3211–3216.
- 5- Chao T.T., and Zhou L. 1983. Extraction techniques for selective dissolution of amorphous iron oxides from soils and sediments. *Soil Sci. Soc. Am. J.* 47: 225–232.
- 6- Cornell R.M., and Schwertmann U. 1996. The Iron Oxides: Structure, Properties, Reactions, Occurrence and Uses. VCH.
- 7- Dong H., Jaisi D.P., Kim J., and Zhang G. 2009. Microbe-clay mineral interactions. *American Mineralogist.* 94: 1505–1519.
- 8- Dong H., Kukkadapu R., Fredricson J., Zachara J., Kennedy D., and Kostandarites H. 2003. Microbial reduction of structural Fe(III) in illite and goethite. *Environ. Sci. Technol.* 37: 1268–1276.
- 9- Egashira K., and Ohtsubo M. 1983. Swelling and mineralogy of smectites in paddy soils derived from marine alluvium. *Japan Geoderma* 29: 119–127.
- 10- Fischer W.R. 1988. Microbiological reactions of iron in soils, in: Stucki, J. W., Goodman, B.A., and Schwertmann, U (Eds.), *Iron in Soils and Clay Minerals*, D. Reidel Publ. Co., Dordrecht, The Netherlands, pp: 715–748.
- 11- Gates W.P., Slade P.G., Manceau A., Lanson B. 2002. Site occupancies by iron in nontronites. *Clays and Clay Minerals* 50: 223–239.
- 12- Gates W.P., Wilkinson H.T., Stucki J.W. 1993. Swelling properties of microbially reduced ferruginous smectite, *Clays Clay Miner.* 41: 360–364.
- 13- Gregg S.J., and Sing K.W. 1982. Adsorption, Surface Area and Porosity. Harcourt Brace Jovanovich, London.
- 14- Hansel C.M., Benner S.G., Nico P., and Fendorf S. 2004. Structural constraints of ferric (hydr)oxides on dissimilatory iron reduction and the fate of Fe(II). *Geochim. Cosmochim. Acta* 68: 3217–3229.
- 15- Jaisi D.P., Kukkadapu R.K., Eberl D.D., and Dong H. 2005. Control of Fe(III) site occupancy on the rate and extent of microbial reduction of Fe(III) in nontronite. *Geochimica et Cosmochimica Acta* 69: 5429–5440.
- 16- Komlósa J., Kukkadapu R.K., Zacharab J.M., and Jaffe P.R. 2007. Biostimulation of iron reduction and subsequent oxidation of sediment containing Fe-silicates and Fe-oxides: Effect of redox cycling on Fe(III) bioreduction. *Water Research* 41: 2996 – 3004.
- 17- Kostka J.E., Haefele E., Viehweger R., and Stucki J.W. 1999. Respiration and dissolution of Fe(III)-containing clay minerals by bacteria. *Environ. Sci. Technol.* 33: 3127–3133.
- 18- Kostka J.E., Stucki J.W., Nealson K.H., Wu J. 1996. Reduction of structural Fe(III) in smectite by a pure culture of the Fe-reducing bacterium *Shewanella putrefaciens* strain MR-1. *Clays and Clay Minerals* 44: 522–529.
- 19- Kostka J.E., Wu J., Nealson K.H., and Stucki J.W. 1999. The impact of structural Fe(III) reduction by bacteria on the surface chemistry of smectite clay minerals. *Geochimica et Cosmochimica Acta* 63: 3705–3713. No. 22.
- 20- Lamb C.A., and Grady R.I. 1963. A study of soil heaving with frost. *Ohio Farm and Home Research* 48: 43–47.
- 21- Li Y.L., Vali H., Sears S.K., Yang J., Deng B., and Zhang C. 2004. Iron reduction and alteration of nontronite Na⁺-2 by a sulfate reducing bacterium. *Geochim. Cosmochim. Acta* 68: 3251–3260.
- 22- Lovley D.R. 1991. Dissimilatory Fe(III) and Mn(IV) reduction. *Microbiol. Rev.* 55: 259–287.
- 23- Lovley D.R., Holmes D.E., and Nevin K.P. 2004. Dissimilatory Fe(III) and Mn(IV) reduction. *Advances in Microbial Physiology* 49: 219–286.
- 24- Lovley D.R., and Phillips E.J.P. 1986. Availability of ferric iron for microbial reduction in bottom sediments of the freshwater tidal Potomac river. *Applied and Environmental Microbiology* 52: 751–757.
- 25- Roden E.E. 2006. Geochemical and microbiological controls on dissimilatory iron reduction. *Comptes Rendus Geoscience* 338: 456–467.
- 26- Roden E.E., and Zachara J.M. 1996. Microbial reduction of crystalline iron(III) oxides influence of oxide surface

- area and potential for cell growth, Environ. Sci. Technol. 30: 1618–1628.
- 27- Royer R.A., William D., Burgos A., Fisher A.S., and Dempsey B.R. 2002. Enhancement of biological reduction of hematite by electron shuttling and Fe(II) complexation. Environ. Sci. and Technol. Page Est:7.9.
- 28- Russell J.D., Goodman B.A., and Fraser A.R. 1979. Infrared and Mössbauer studies of reduced nontronites. Clays Clay Mineral. 27: 63–71.
- 29- Seabaugh J.L., Dong H., Kukkadapu R.K., Eberl D.D., Morton J.P., and Kim J.W. 2006. Microbial reduction of Fe(III) in the Fithian and Muloorinaillites: Contrasting extents and rates of bioreduction. Clays and Clay Minerals, 54: 67–79.
- 30- Shi L., Richardson D.J., Wang Z., Kerisit S.N., Rosso K.M., Zachara J.M., and Fredrickson J.K. 2009. The roles of outer membrane cytochromes of Shewanella and Geobacter in extracellular electron transfer. Environmental Microbiology Reports. 1(4): 220–227.
- 31- Stookey L.L. 1970. Ferrozine- a new spectrophotometric reagent for iron. Anal Chem. 42:779-781.
- 32- Stucki J.W. 1988. Iron in smectites. In: Stucki, J.W., Goodman, B.A., Schwertmann, U. (Eds.), Iron in Soils and Clay Minerals. D. Reidel, Dordrecht, pp. 625–675.
- 33- Stucki J.W. 2005. Iron redox processes in smectites. In Handbook of Clay Science (eds. F. Bergaya, B. K. G. Theng and G. Lagaly). Elsevier, Amsterdam (Draft Version).
- 34- Stucki J.W., Lee K., Goodman B.A., and Kostka J.E. 2007. Effects of in situ biostimulation on iron mineral speciation in a sub-surface soil. Geochimica et Cosmochimica Acta. 71: 835–843.



Study and Comparison of Microbial Reduction of Structural Fe (III) in Nontronite, Goethite and Hematite

N. Ghorbanzadeh¹- A. Lakzian^{2*} - Gh. Haghnia³- A. Karimi⁴

Received: 13-08-2012

Accepted: 12-03-2013

Abstract

Microbial reduction is an important process that affects properties of ferric clay minerals and iron biogeochemical cycling in natural environments. Oxyhydroxides and phyllosilicates are two major sources of iron in soils, rocks and sediments that potentially have ability to bioreduced over the time. In this study, comparison of bioreduction in two main sources of iron (oxides and phyllosilicates) in the presence of *Shewanella* sp was carried out. For this purpose an experiment was conducted under laboratory conditions in the form of a completely randomized design with 16 treatments and 3 replications. Treatments included bioreduction of goethite, hematite and two type of nontronite with and without electron transfer (AQS) and controls (all mentioned treatments in the absence of *Shewanella* sp). The results revealed that bioreduction in goethite, hematite and two type of nontronite increased in the presence of AQS. The extent of reduction in the presence of AQS was 21%, 9%, 3% and 8.7% in NAu-2, NAu-1, hematite and goethite respectively. These results have shown when iron oxides (goethite and hematite) and iron silicates are the dominant form of ferric iron in soils and subsurface sediments, *Shewanella* sp can survive and produce significant amounts of Fe(II). In the identical conditions of bioreduction (concentration of electron donor and acceptor and equal number of bacterial cell) size and surface area of mineral play an important role in efficiency of bioreduction.

Keywords: Bioreduction, Ferrous iron, *Shewanella* sp.

1,2,3,4- PhD Student, Professors and Assistant Professor of Soil Science Department, Agricultural College, Ferdowsi University of Mashhad, Respectively
(* - Corresponding Author Email: alakzian@yahoo.com)